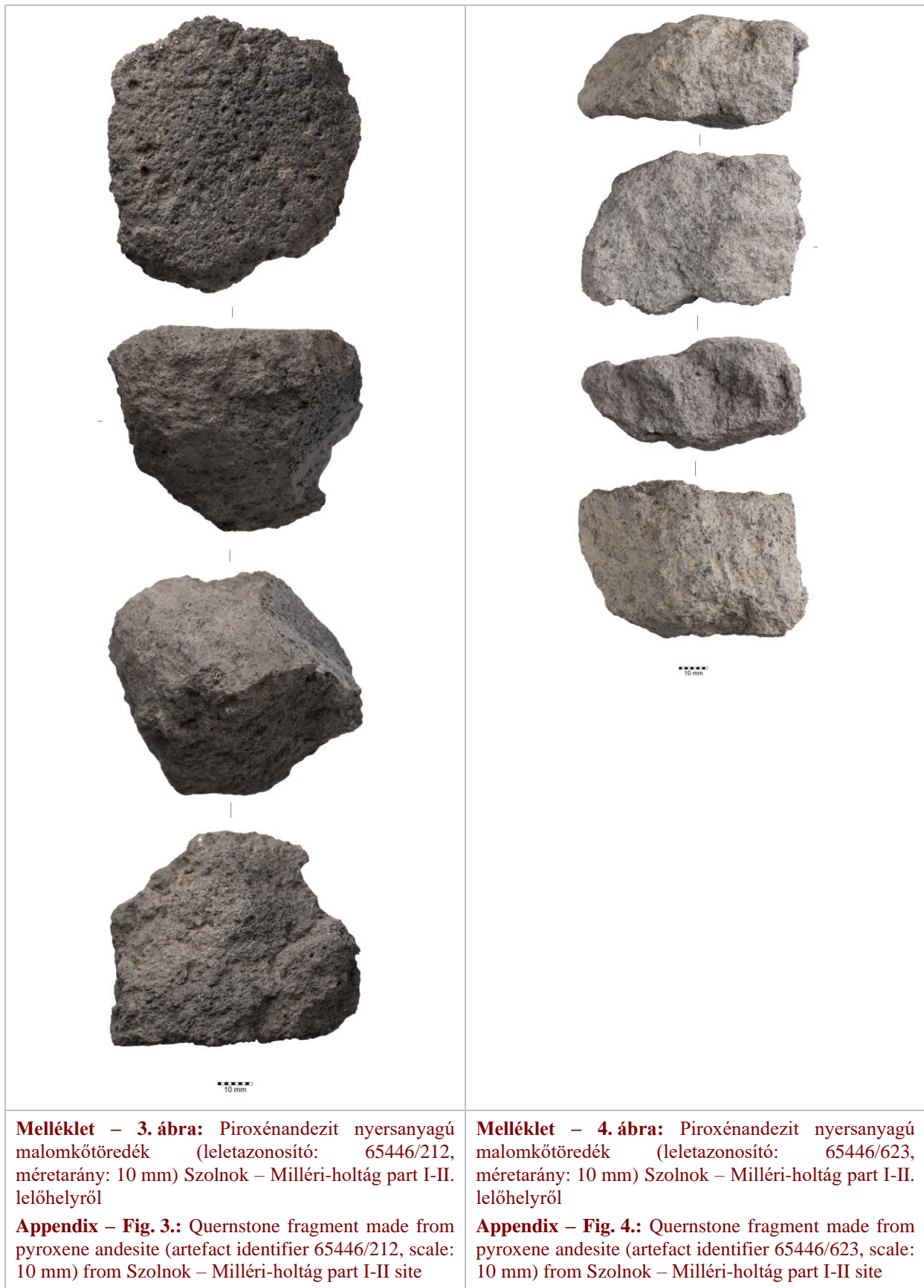
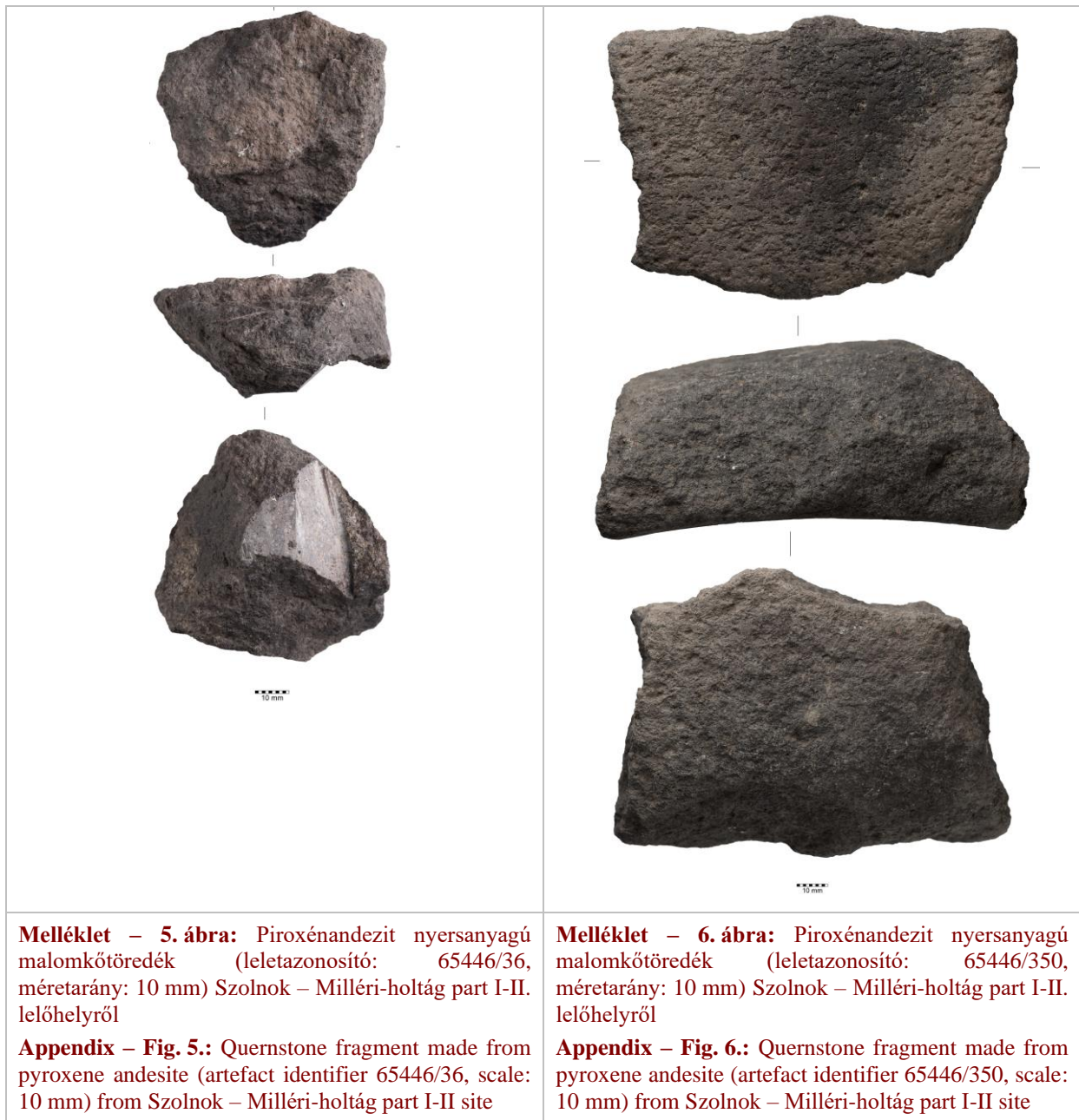
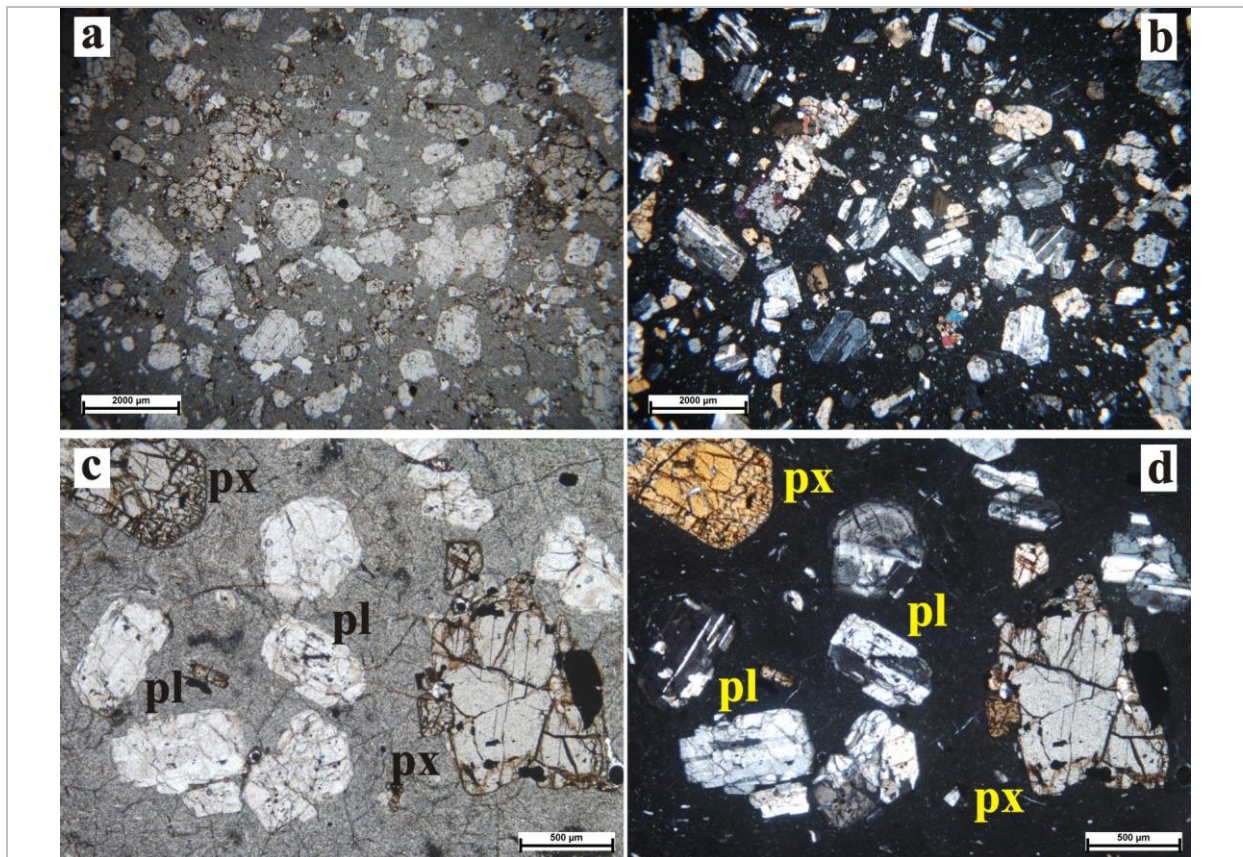


**Melléklet: 1–27. ábra / Appendix: Figures 1–27\***









**Melléklet – 7. ábra:** Mikroszkópos felvételek (piroxénandezit, 1. típus):

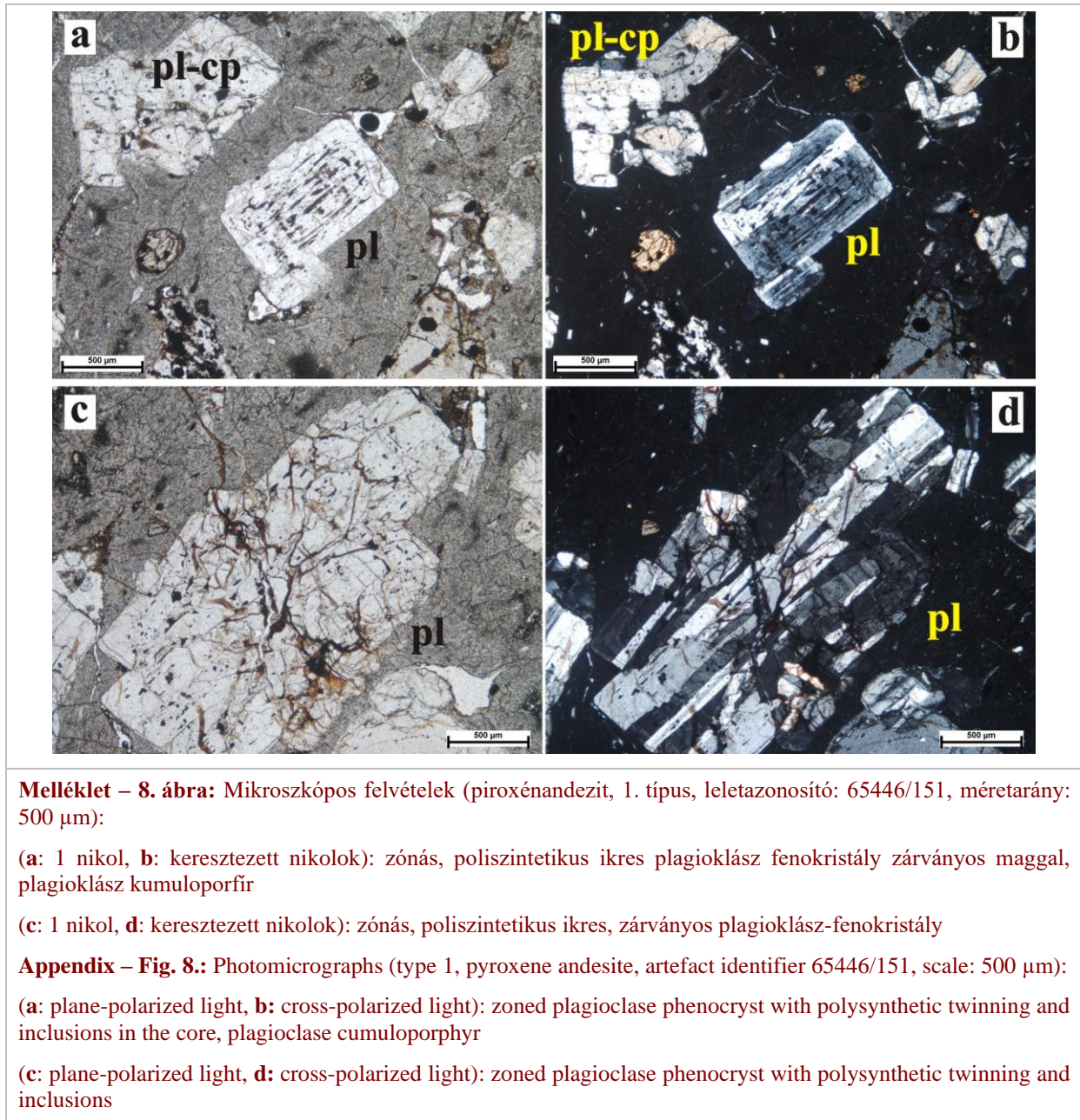
(**a**: 1 nikol, **b**: keresztezett nikolok): szöveti kép: porfíros, kumuloporfíros hialopilités szövet (leletazonosító: 65446/11, méretarány: 2000 µm)

(**c**: 1 nikol, **d**: keresztezett nikolok): szöveti kép (porfíros, kumuloporfíros pilotaxitos szövet), plagioklász és piroxén fenokristályok, alapanyag (leletazonosító: 65446/151, méretarány: 500 µm)

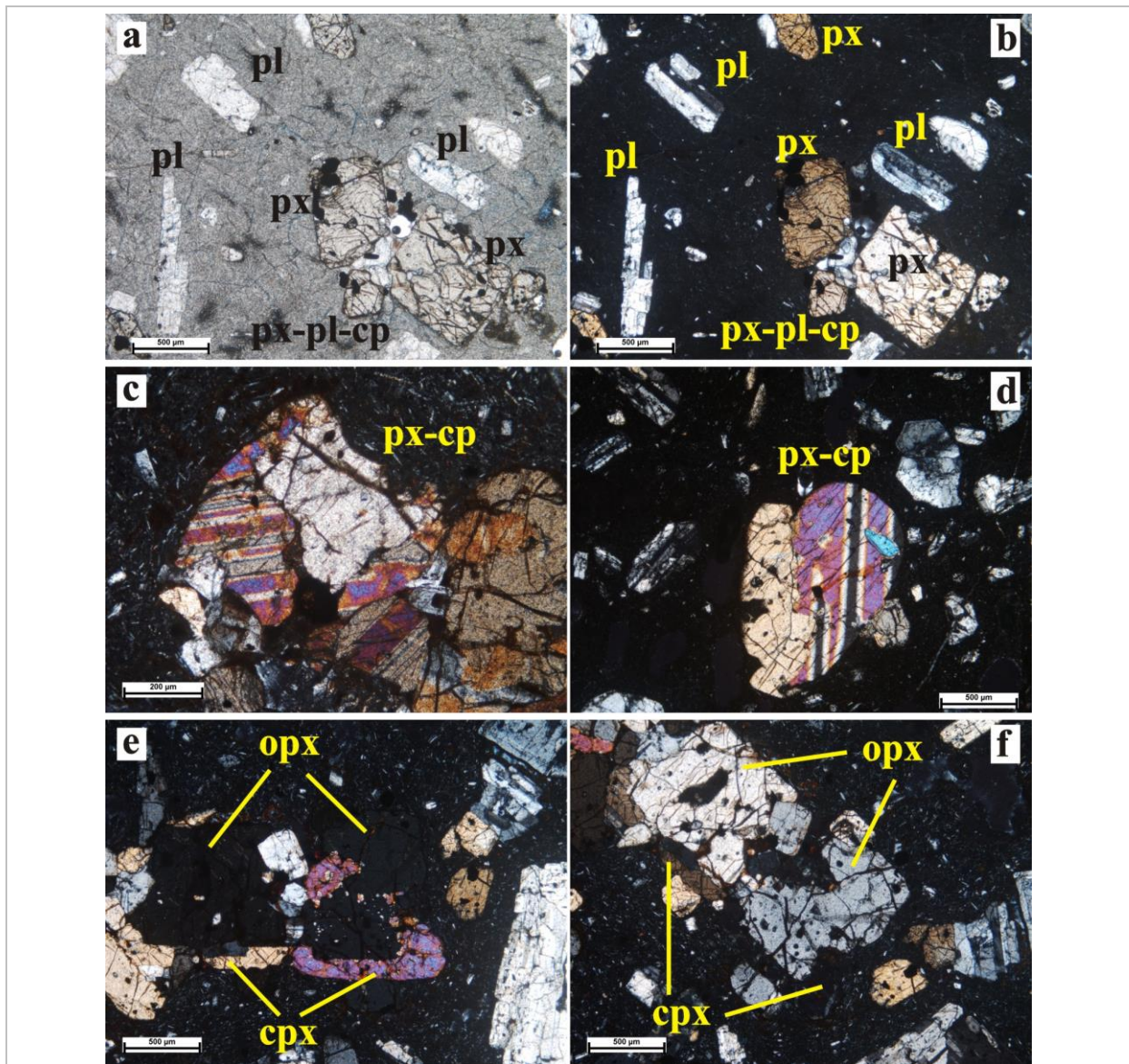
**Appendix – Fig. 7.:** Photomicrographs (type 1, pyroxene andesite):

(**a**: plane-polarized light, **b**: cross-polarized light): textural image: porphyritic, cumulo porphyritic hyalopilitic texture (artifact identifier 65446/11, scale: 2000 µm)

(**c**: plane-polarized light, **d**: cross-polarized light): textural image (porphyritic, cumulo porphyritic pilotaxitic texture), plagioclase and pyroxene phenocrysts, groundmass (artifact identifier 65446/151, scale: 500 µm)







**Melléklet – 9. ábra:** Mikroszkópos felvételek (piroxéndazit, 1. típus, **a**: 1 nikol, **b-f**: keresztezett nikolok)  
**a-b**: piroxén fenokristályok piroxén-plagioklász kumuloporfirban (leletazonosító: 65446/151, méretarány: 500  $\mu\text{m}$ )  
**c**: poliszintetikus ikresedett klinopiroxén fenokristály piroxén kumuloporfirban (leletazonosító: 65446/11, méretarány: 200  $\mu\text{m}$ )  
**d**: poliszintetikus ikresedett klinopiroxén fenokristály piroxén kumuloporfirban (leletazonosító: 65446/212, méretarány: 500  $\mu\text{m}$ )  
**e**: ortopiroxén fenokristály, klinopiroxén továbbnövekedéssel: az ortopiroxén fenokristály kioltási helyzetben van (leletazonosító: 65446/11, méretarány: 500  $\mu\text{m}$ )  
**f**: ortopiroxén fenokristály, klinopiroxén továbbnövekedéssel (leletazonosító: 65446/11, méretarány: 500  $\mu\text{m}$ )

**Appendix – Fig. 9.:** Photomicrographs (type 1, pyroxene andesite, **a**: plane-polarized light, **b-f**: cross-polarized light)

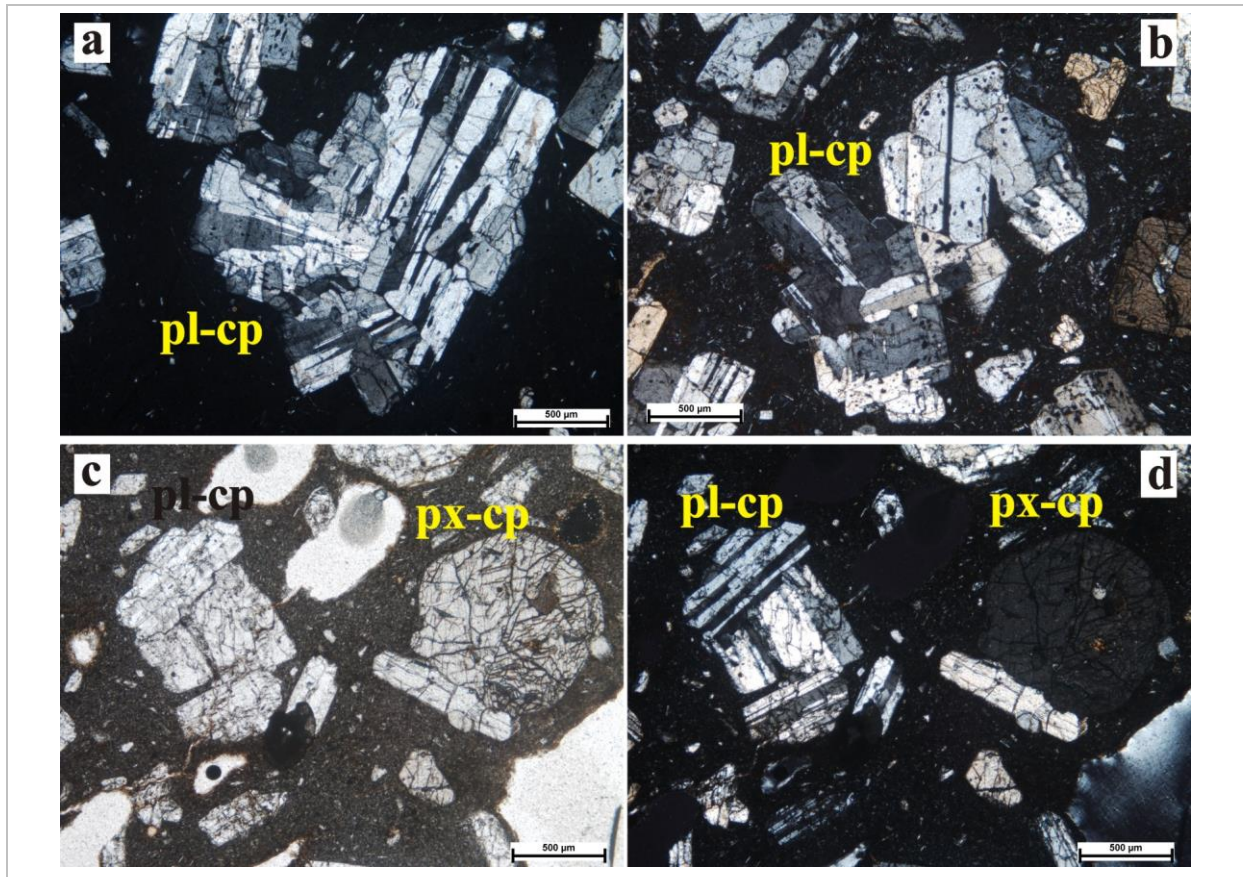
**a-b**: pyroxene phenocrysts in a pyroxene-plagioclase cumuloportyrite (artefact identifier 65446/151, scale: 500  $\mu\text{m}$ )

**c**: clinopyroxene phenocryst with polysynthetic twinning in a pyroxene cumuloportyrite (artefact identifier 65446/11, scale: 200  $\mu\text{m}$ )

**d**: clinopyroxene phenocryst with polysynthetic twinning in a pyroxene cumuloportyrite (artefact identifier 65446/212, scale: 500  $\mu\text{m}$ )

**e**: orthopyroxene phenocryst with a clinopyroxene overgrowth, the orthopyroxene phenocryst is in extinction (artefact identifier 65446/11, scale: 500  $\mu\text{m}$ )

**f**: orthopyroxene phenocryst with a clinopyroxene overgrowth (artefact identifier 65446/11, scale: 500  $\mu\text{m}$ )



**Melléklet – 10. ábra:** Mikroszkópos felvételek (piroxénandezit, 1. típus, méretarány: 500 µm):

(**a, b, d:** 1 nikol, **c:** keresztezett nikolok):

**a:** plagioklász kumuloporfir (leletazonosító: 65446/151)

**b:** plagioklász kumuloporfir (leletazonosító: 65446/11)

**c-d:** plagioklász és piroxén kumuloporfir (leletazonosító: 65446/212)

**Appendix – Fig. 10.:** Photomicrographs (type 1, pyroxene andesite, scale: 500 µm):

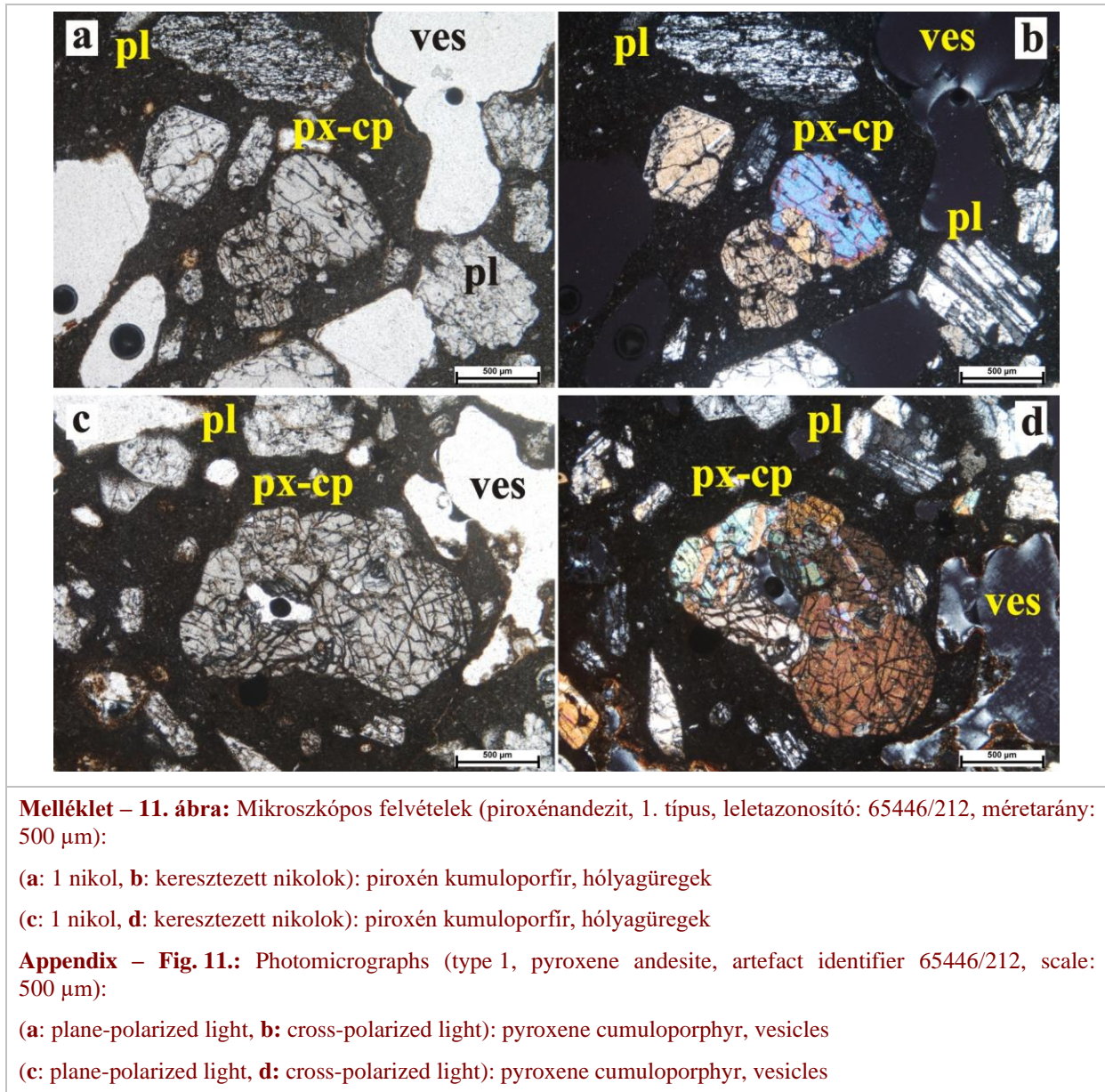
(**a, b, d:** plane-polarized light, **c:** cross-polarized light):

**a:** plagioclase cumulo porphy (artefact identifier 65446/151)

**b:** plagioclase cumulo porphy (artefact identifier 65446/11)

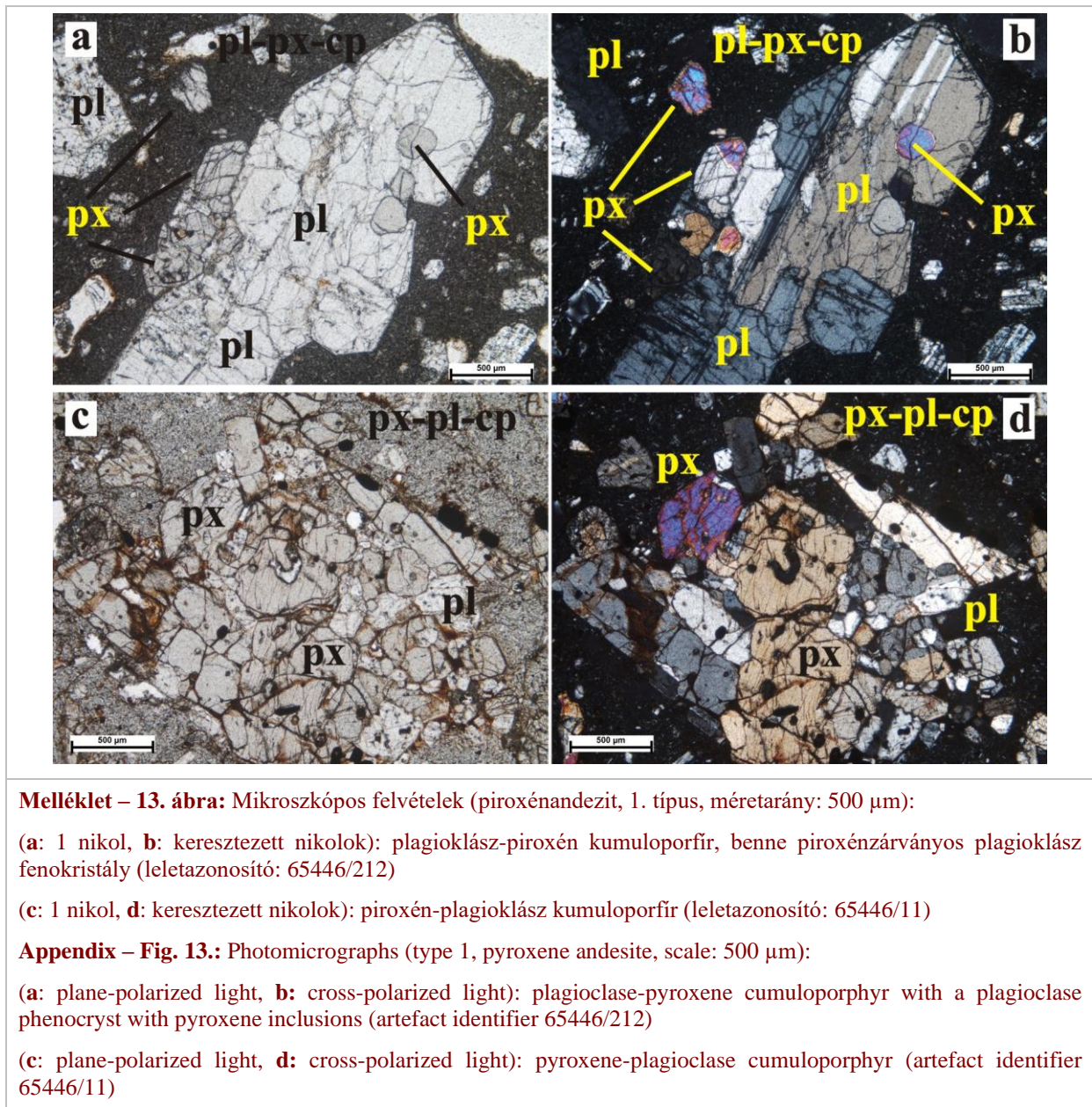
**c-d:** plagioclase and pyroxene cumulo porphy (artefact identifier 65446/212)



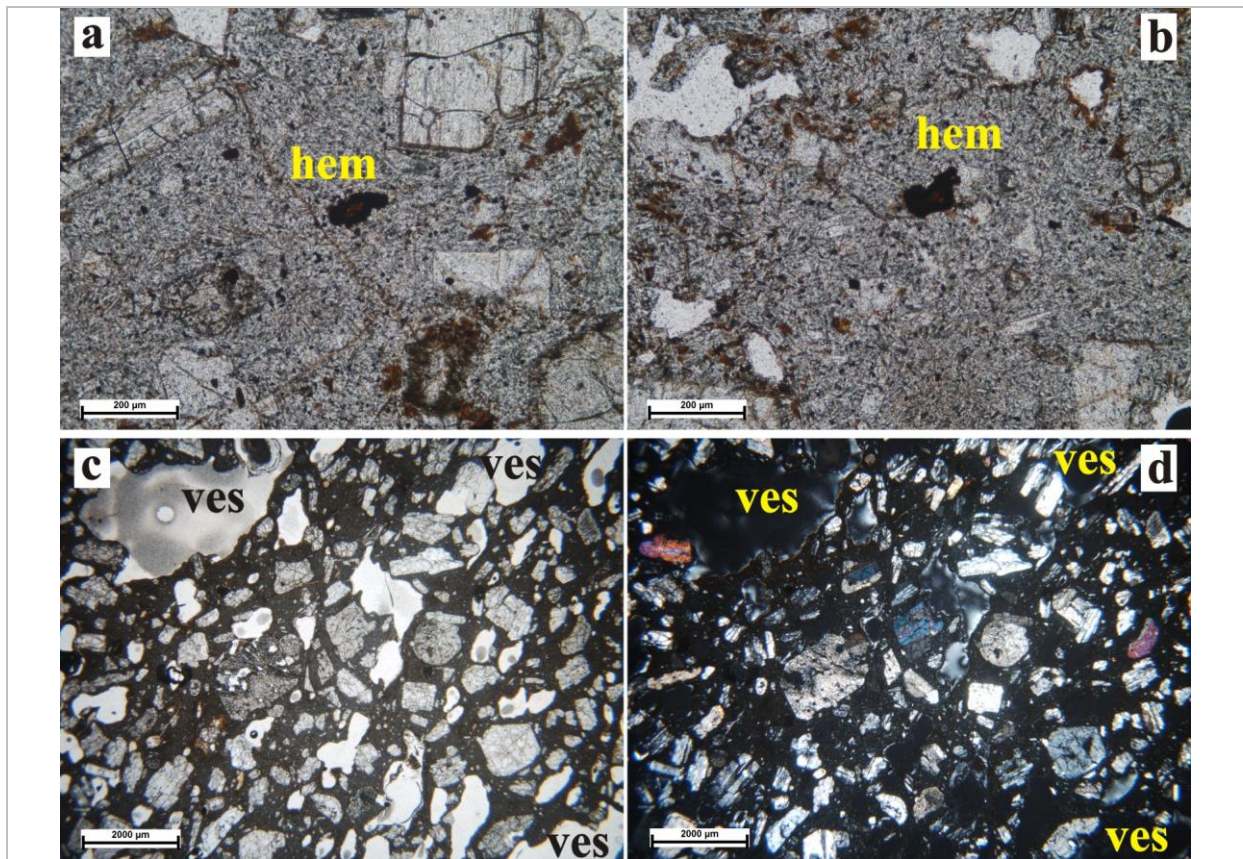












**Melléklet – 14. ábra:** Mikroszkópos felvételek (piroxénandezit, 1. típus):

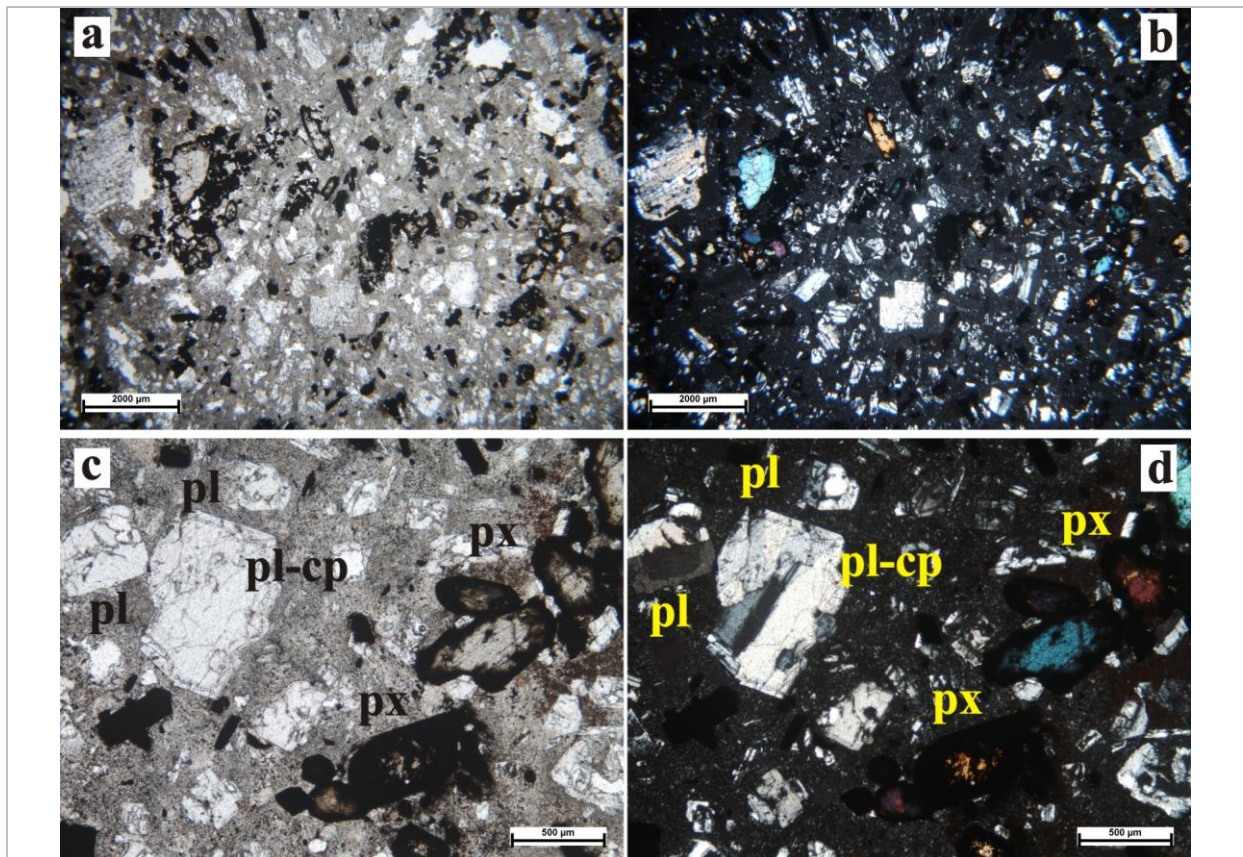
(**a:** 1 nikol, **b:** keresztezett nikolok): limonit-hematit aggregátum (leletazonosító: 65446/11, méretarány: 200 μm)

(**c:** 1 nikol, **d:** keresztezett nikolok): szöveti kép, hólyagüregek (leletazonosító: 65446/212, méretarány: 2000 μm)

**Appendix – Fig. 14.:** Photomicrographs (type 1, pyroxene andesite):

(**a:** plane-polarized light, **b:** cross-polarized light): limonite-hematite aggregate (artefact identifier 65446/11, scale: 200 μm)

(**c:** plane-polarized light, **d:** cross-polarized light): rock texture, vesicles (artefact identifier 65446/212, scale: 2000 μm)



**Melléklet – 15. ábra:** Mikroszkópos felvételek (mállott piroxénandezit, 2. típus, leletazonosító: 65446/623):

(**a**: 1 nikol, **b**: keresztezett nikolok): szöveti kép: porfíros, kumuloporfíros pilotaxitos szövet (méretarány: 2000 μm)

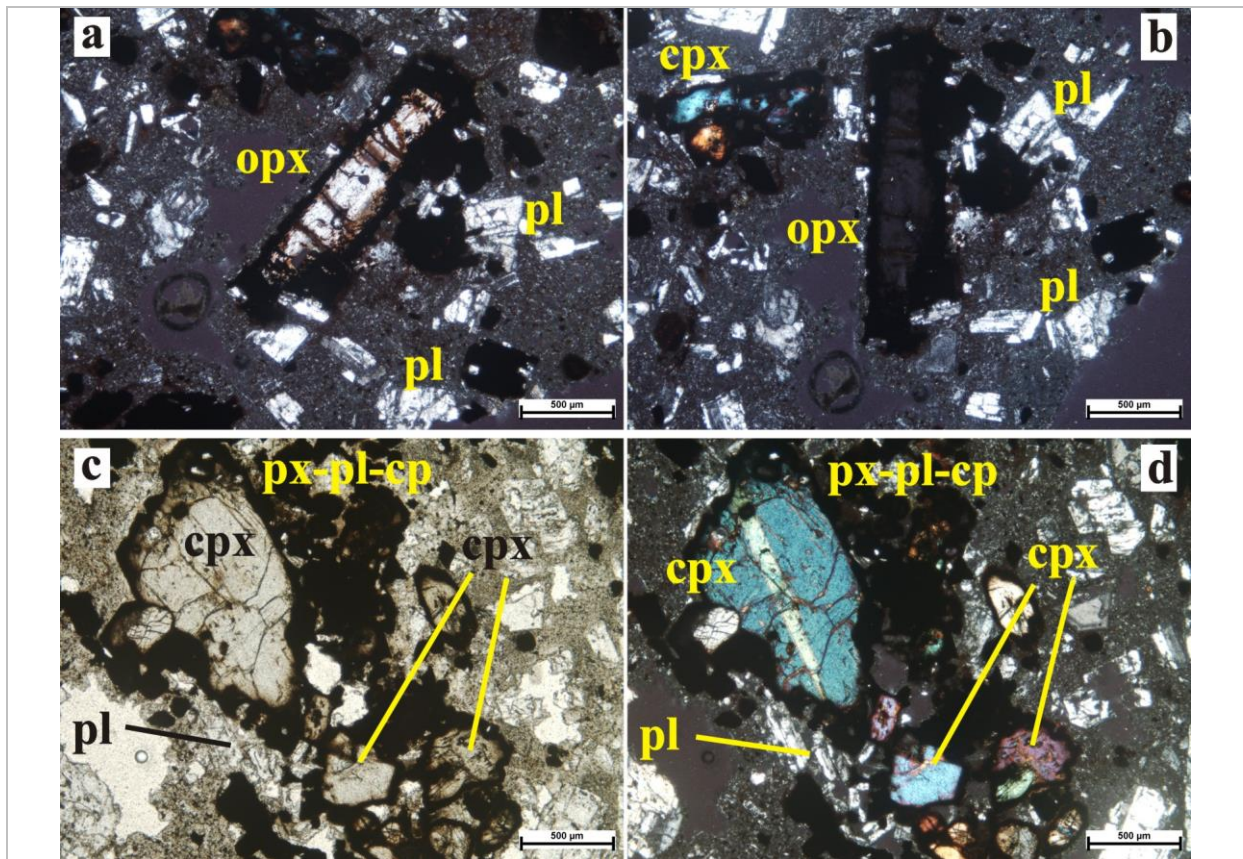
(**c**: 1 nikol, **d**: keresztezett nikolok): szöveti kép (porfíros, kumuloporfíros pilotaxitos szövet), plagioklász és piroxén fenokristályok, plagioklász kumuloporfir, alapanyag (méretarány: 500 μm)

**Appendix – Fig. 15.:** Photomicrographs (type 2, weathered pyroxene andesite, artefact identifier 65446/623):

(**a**: plane-polarized light, **b**: cross-polarized light): textural image: porphyritic, cumulo porphyritic pilotaxitic texture (scale: 2000 μm)

(**c**: plane-polarized light, **d**: cross-polarized light): textural image (porphyritic, cumulo porphyritic pilotaxitic texture), plagioclase and pyroxene phenocrysts, plagioclase cumulo porphyr, groundmass (scale: 500 μm)





**Melléklet – 16. ábra:** Mikroszkópos felvételek (mállott piroxénandezit, 2. típus, leletazonosító: 65446/623, méretarány: 500 µm):

(a, b, d: keresztezett nikolok, c: 1 nikol):

**a:** opacitos szegélyű ortopiroxén fenokristály, plagioklász fenokristályok

**b:** opacitos szegélyű ortopiroxén fenokristály (kioltási helyzetben), klinopiroxén kumuloporfir, plagioklász fenokristályok

**c:** opacitos szegélyű klinopiroxén fenokristályok piroxén-plagioklász kumuloporfirban

**d:** opacitos szegélyű klinopiroxén fenokristályok és polyszintetikus ikres klinopiroxén fenokristály piroxén-plagioklász kumuloporfirban

**Appendix – Fig. 16.:** Photomicrographs (type 2, weathered pyroxene andesite, artefact identifier 65446/623, scale: 500 µm):

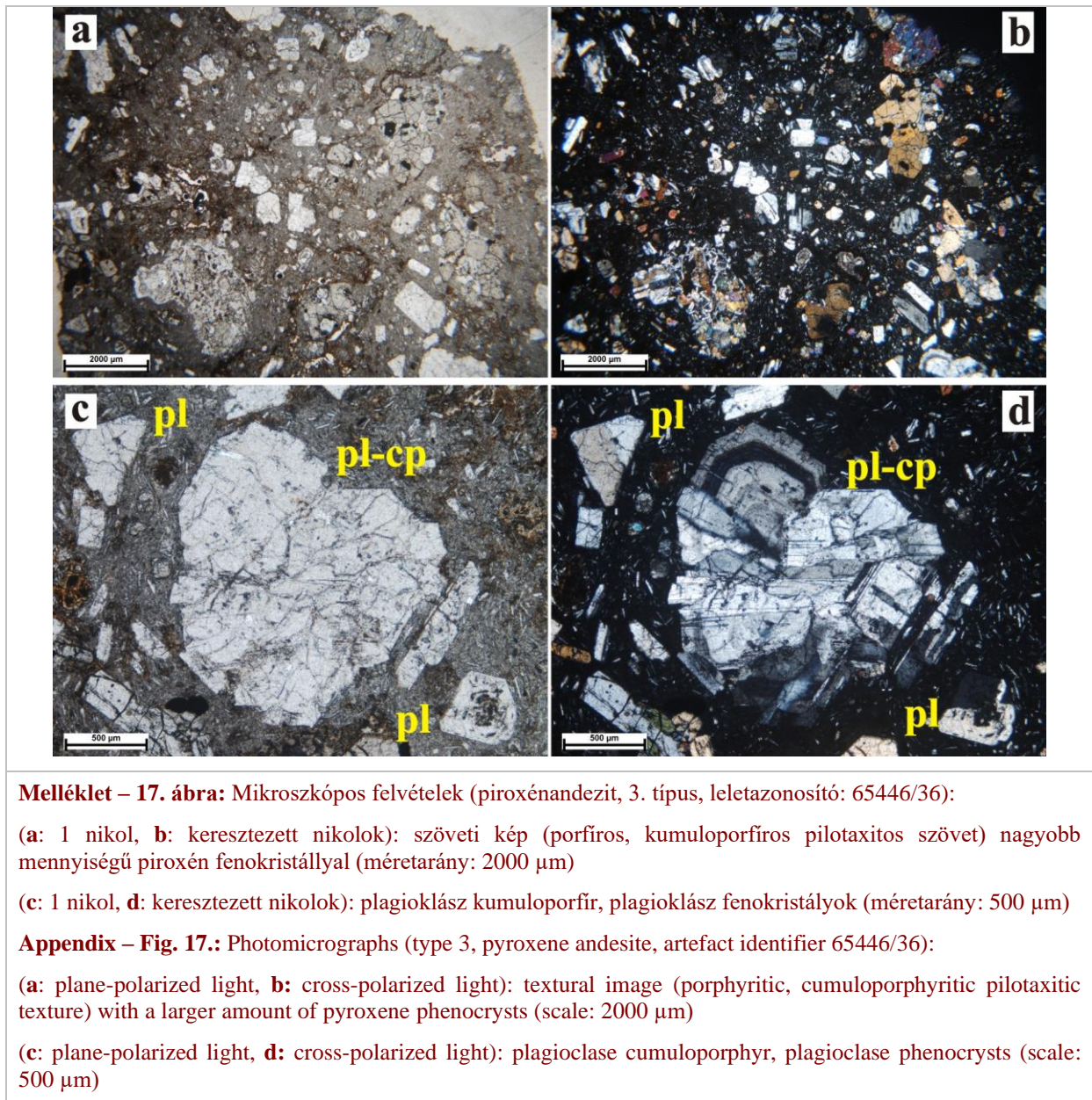
(a, b, d: cross-polarized light, c: plane-polarized light):

**a:** orthopyroxene phenocryst with opacitic rim, plagioclase phenocrysts

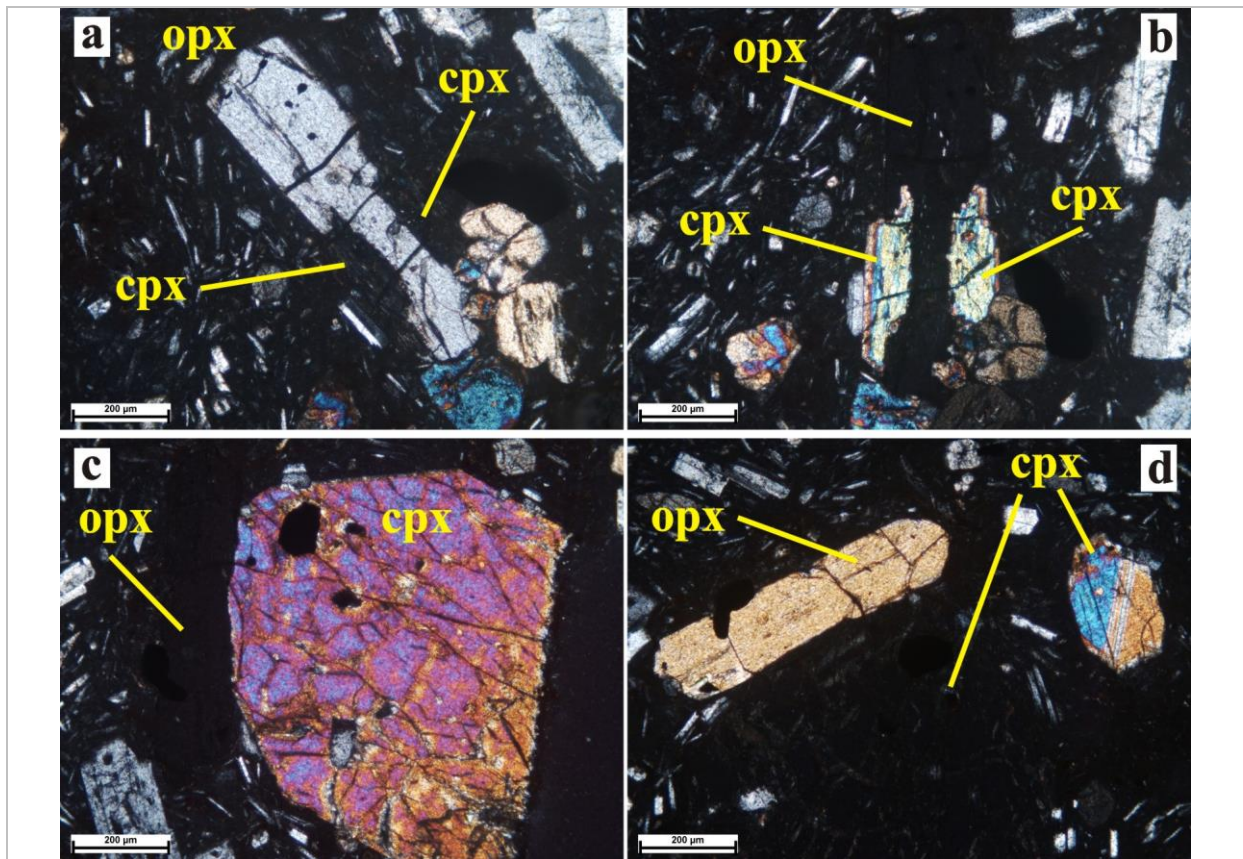
**b:** orthopyroxene phenocryst (in absence) with opacitic rim, clinopyroxene cumulo porphy, plagioclase phenocrysts

**c:** clinopyroxene phenocrysts with opacitic rim in a pyroxene-plagioclase cumulo porphy

**d:** clinopyroxene phenocrysts with opacitic rim and a clinopyroxene phenocryst with polysynthetic twinning in a pyroxene-plagioclase cumulo porphy







**Melléklet – 18. ábra:** Mikroszkópos felvételek (piroxénandezit, 3. típus, leletazonosító: 65446/36, méretarány: 200 µm, keresztvezetett nikolok):

**a:** ortopiroxén fenokristály, klinopiroxén továbbnövekedéssel: a klinopiroxén fenokristály kioltási helyzetben van

**b:** ortopiroxén fenokristály, klinopiroxén továbbnövekedéssel: az ortopiroxén fenokristály kioltási helyzetben van

**c:** ortopiroxén fenokristály, klinopiroxén továbbnövekedéssel: az ortopiroxén fenokristály kioltási helyzetben van

**d:** ortopiroxén fenokristály, klinopiroxén továbbnövekedéssel: a klinopiroxén fenokristály kioltási helyzetben van, poliszintetikus ikres klinopiroxén fenokristály

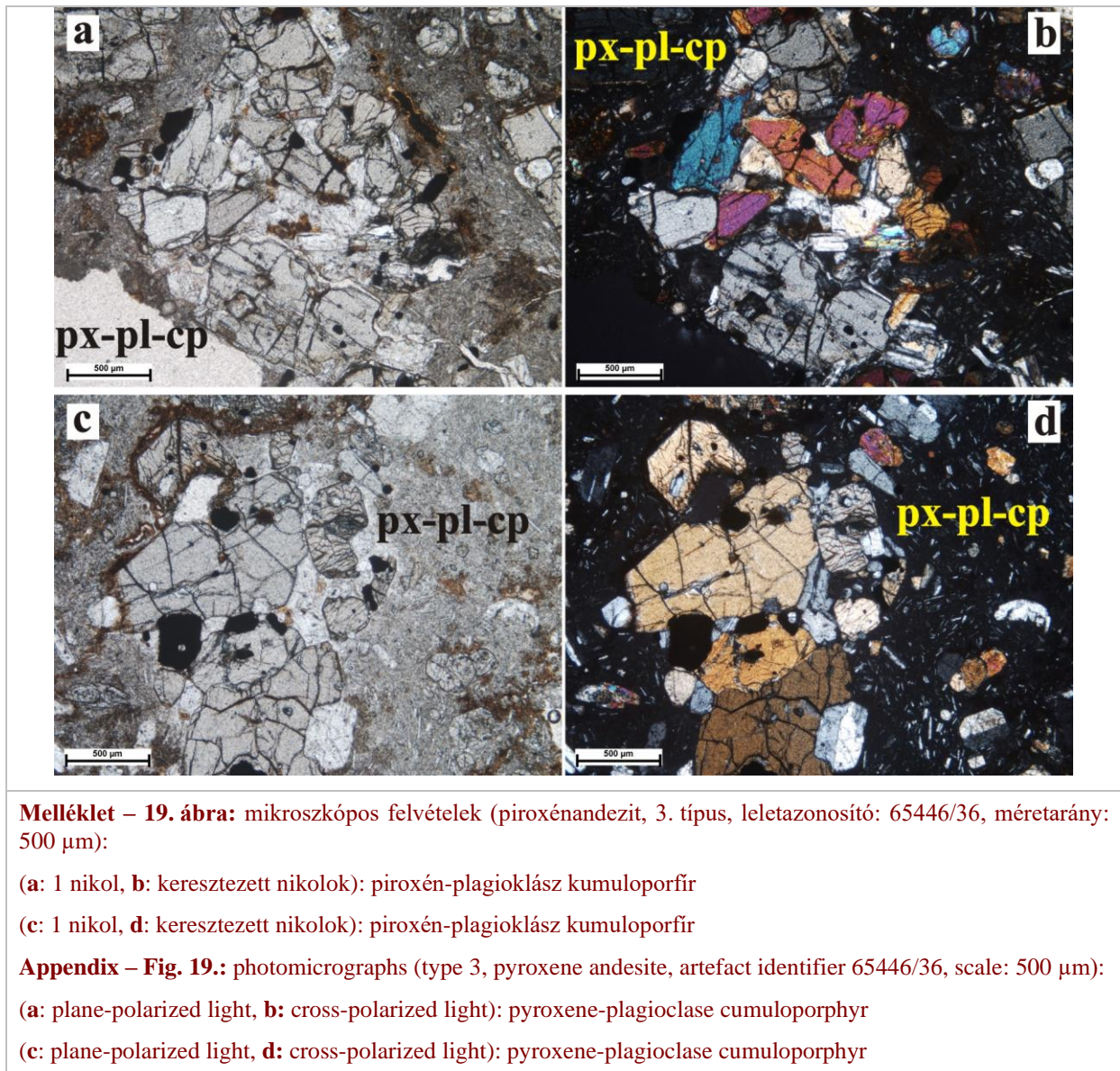
**Appendix – Fig. 18.:** Photomicrographs (type 3, pyroxene andesite, artefact identifier 65446/36, scale: 200 µm, cross-polarized light):

**a:** orthopyroxene phenocryst with a clinopyroxene overgrowth, the clinopyroxene phenocryst is in extinction

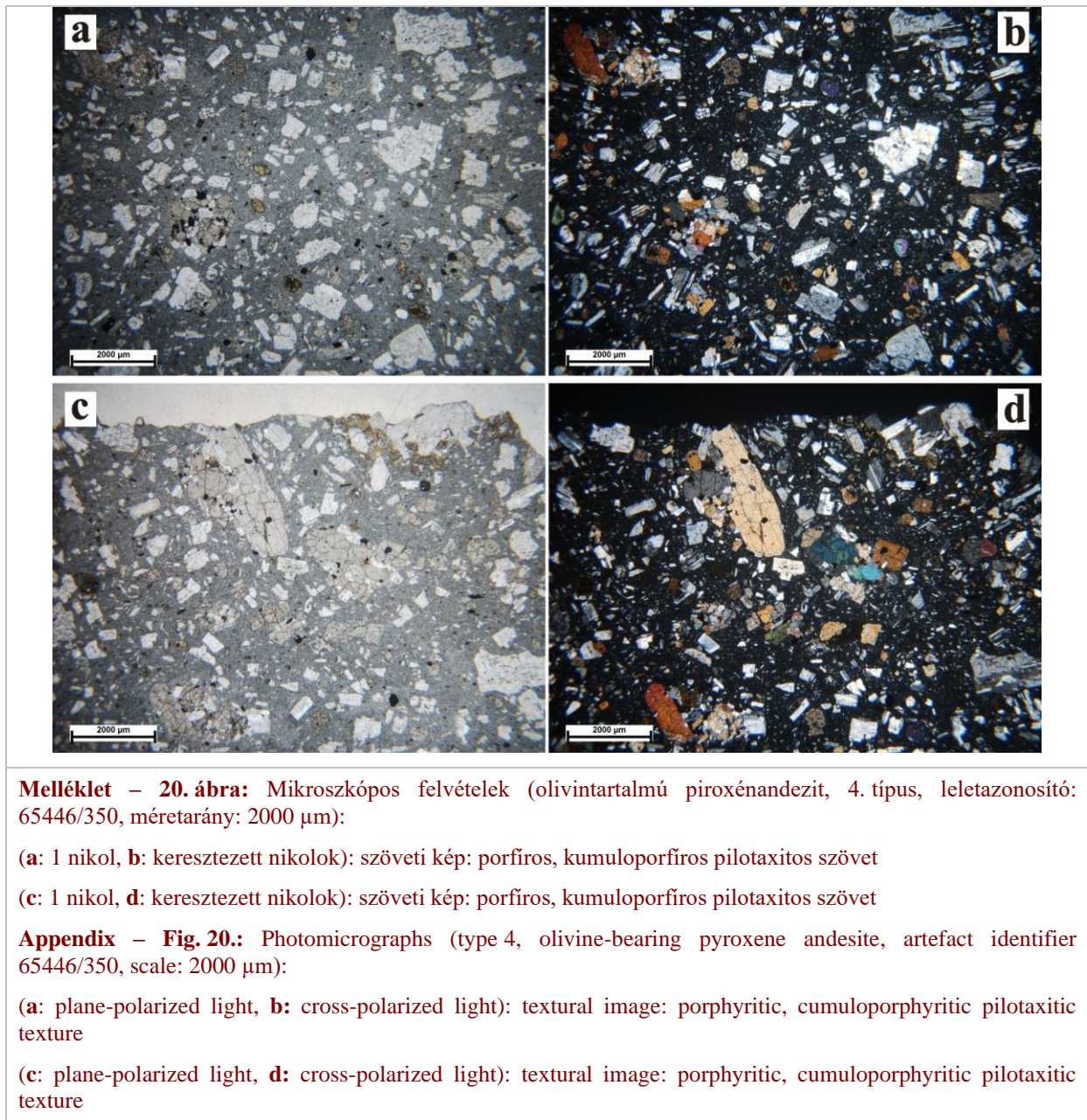
**b:** orthopyroxene phenocryst with a clinopyroxene overgrowth, the orthopyroxene phenocryst is in extinction

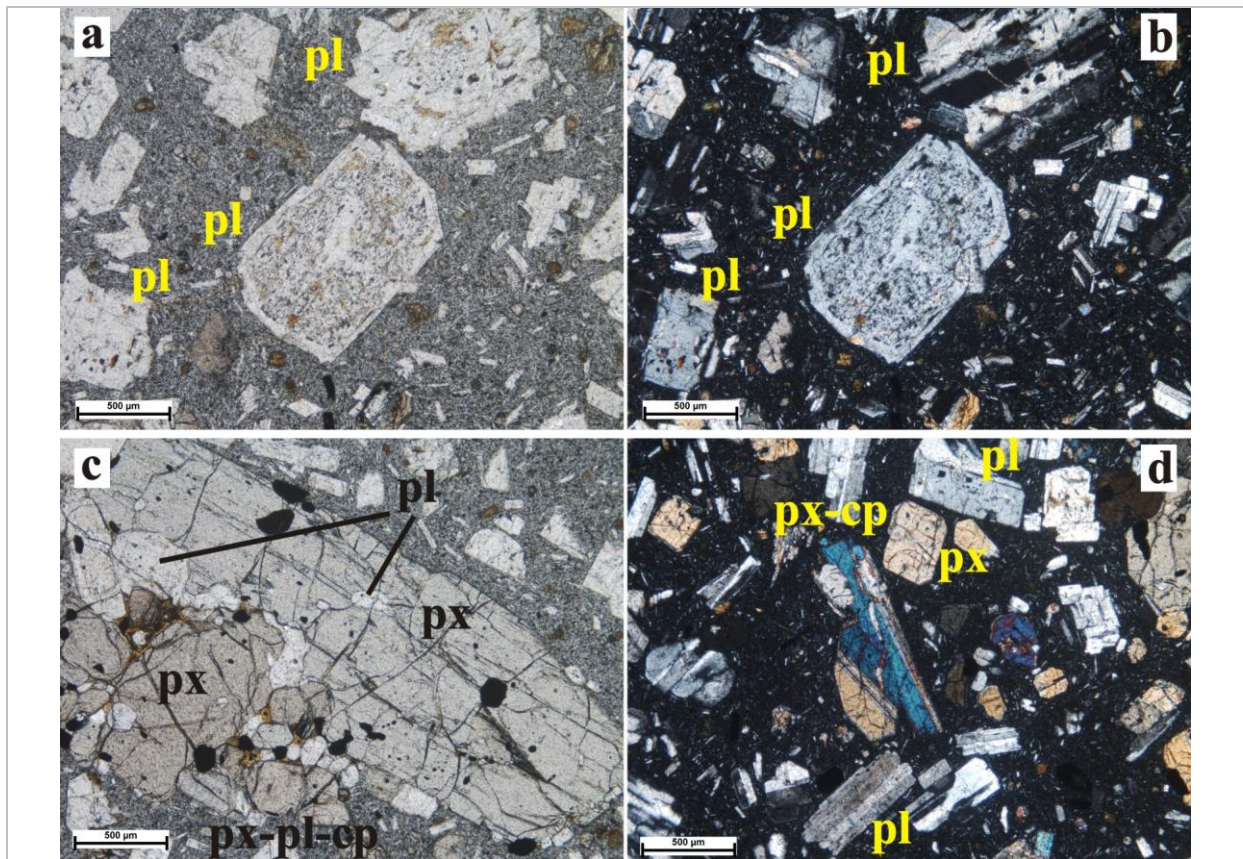
**c:** orthopyroxene phenocryst with a clinopyroxene overgrowth, the orthopyroxene phenocryst is in extinction

**d:** orthopyroxene phenocryst with a clinopyroxene overgrowth, the clinopyroxene phenocryst is in extinction, clinopyroxene phenocryst with polysynthetic twinning









**Melléklet – 21. ábra:** Mikroszkópos felvételek (olivintartalmú piroxénandezit, 4. típus, leletazonosító: 65446/350, méretarány: 500 µm):

(a: 1 nikol, b: keresztezett nikolok): zónás plagioklász fenokristály zárványos maggal

(c: 1 nikol): opakásvány és plagioklász zárványokat tartalmazó piroxén fenokristály, piroxén-plagioklász kumuloporfirban

(d: keresztezett nikolok): polyszintetikus ikres klinopiroxén fenokristály piroxén kumuloporfirban

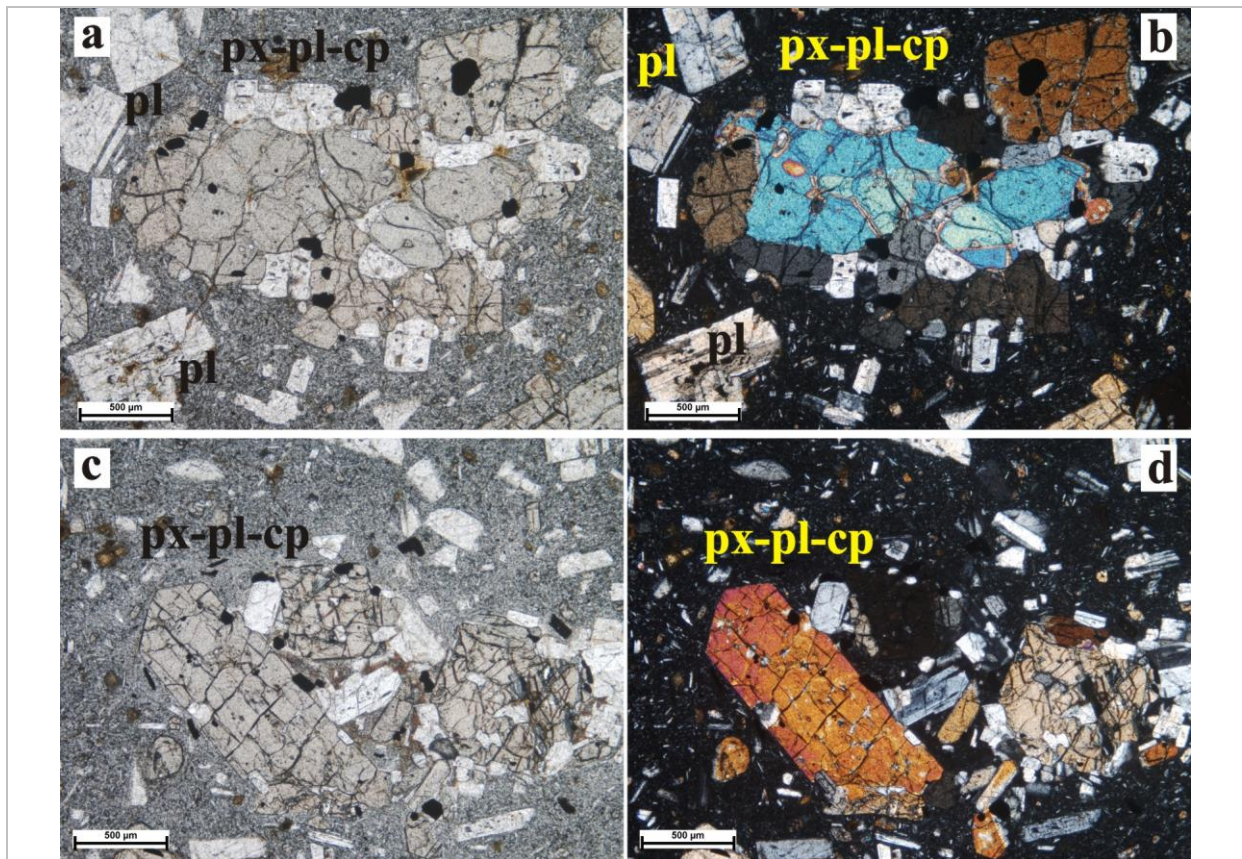
**Appendix – Fig. 21.:** Photomicrographs (type 4, olivine-bearing pyroxene andesite, artefact identifier 65446/350, scale: 500 µm):

(a: plane-polarized light, b: cross-polarized light): zoned plagioclase phenocryst with inclusions in the core

(c: plane-polarized light): pyroxene-plagioclase cumuloportyphyr with a pyroxene phenocryst with opaque mineral and plagioclase inclusions

(d: cross-polarized light): clinopyroxene phenocryst with polysynthetic twinning in a pyroxene cumuloportyphyr





**Melléklet – 22. ábra:** Mikroszkópos felvételek (olivintartalmú piroxénandezit, 4. típus, leletazonosító: 65446/350, méretarány: 500 µm):

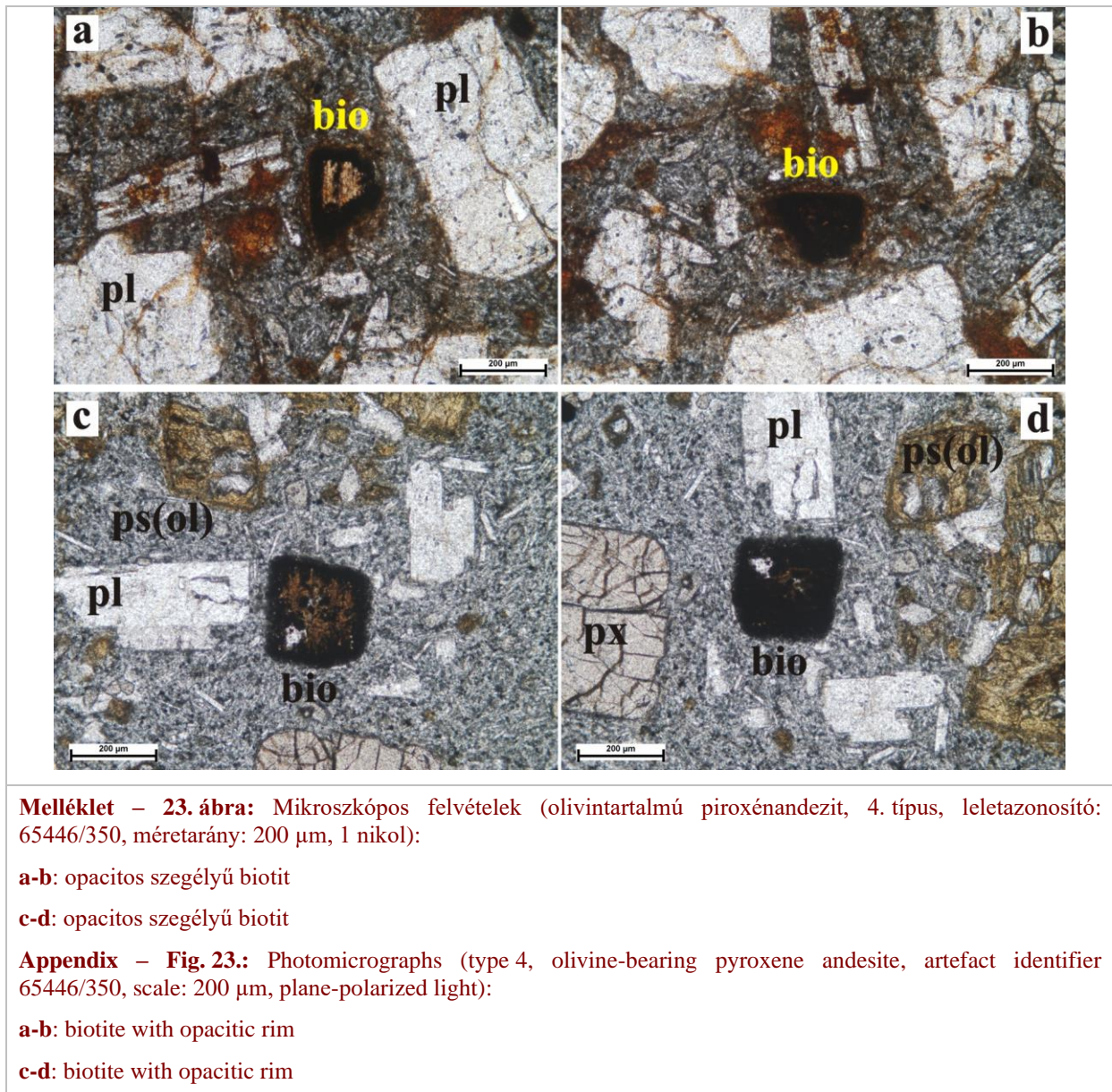
(**a:** 1 nikol, **b:** keresztezett nikolok): piroxén-plagioklász kumuloporfir

(**c:** 1 nikol, **d:** keresztezett nikolok): piroxén-plagioklász kumuloporfir

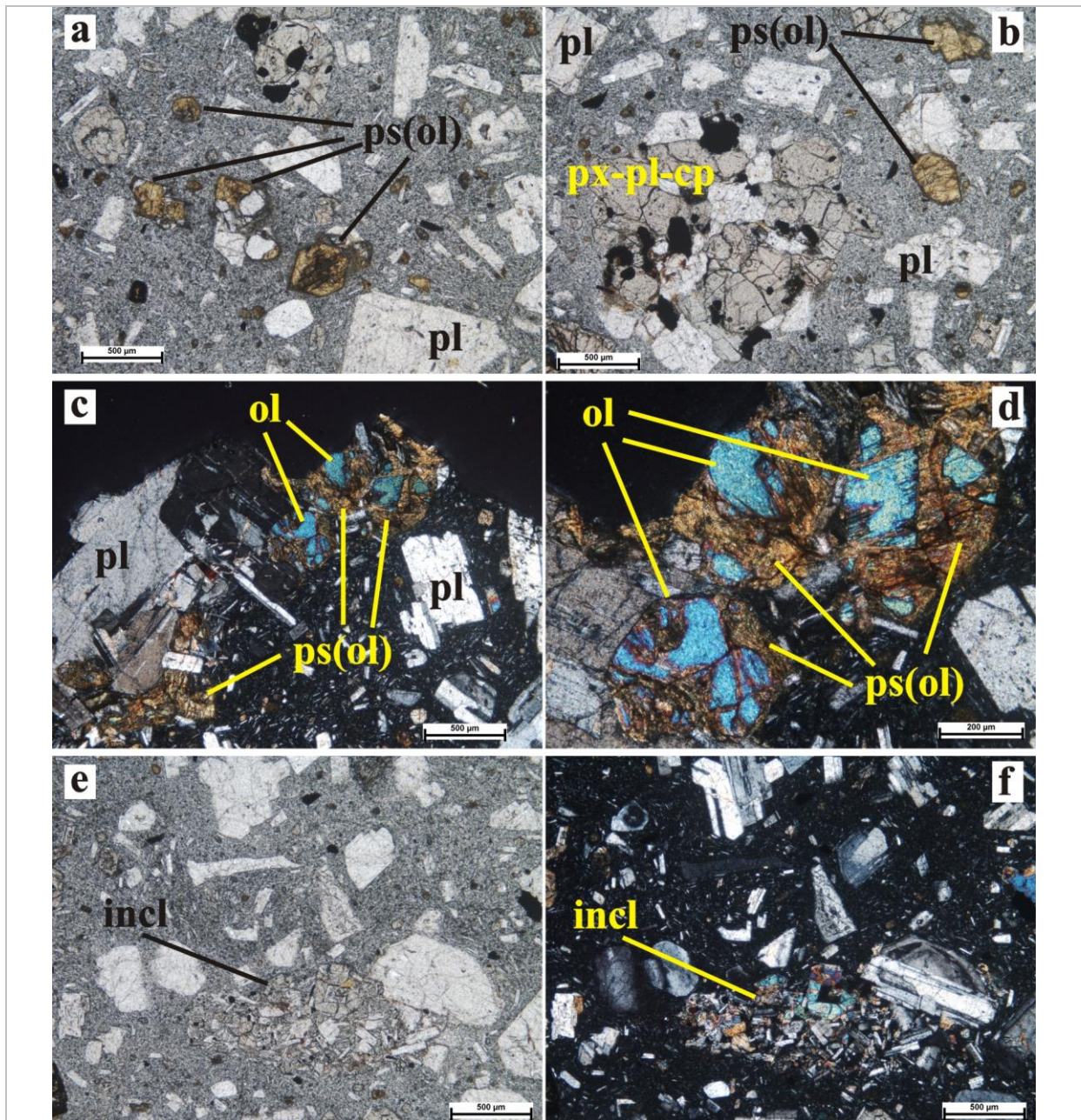
**Appendix – Fig. 22.:** Photomicrographs (type 4, olivine-bearing pyroxene andesite, artefact identifier 65446/350, scale: 500 µm):

(**a:** plane-polarized light, **b:** cross-polarized light): pyroxene-plagioclase cumuloporphyr

(**c:** plane-polarized light, **d:** cross-polarized light): pyroxene-plagioclase cumuloporphyr







**Melléklet – 24. ábra:** Mikroszkópos felvételek (olivintartalmú piroxénandezit, 4. típus, leletazonosító: 65446/350, méretarány: **a-c, e-f:** 500  $\mu\text{m}$ , **d:** 200  $\mu\text{m}$ ):

(**a, b, e:** 1 nikol, **c, d, f:** kereszttezett nikolok):

**a-b:** olivin utáni pszeudomorfózák

**c-d:** üde olivin, olivin utáni pszeudomorfózák magjában

**e-f:** finomszemcsés zárvány

**Appendix – Fig. 24.:** Photomicrographs (type 4, olivine-bearing pyroxene andesite, artefact identifier 65446/350, scale: **a-c, e-f:** 500  $\mu\text{m}$ , **d:** 200  $\mu\text{m}$ ):

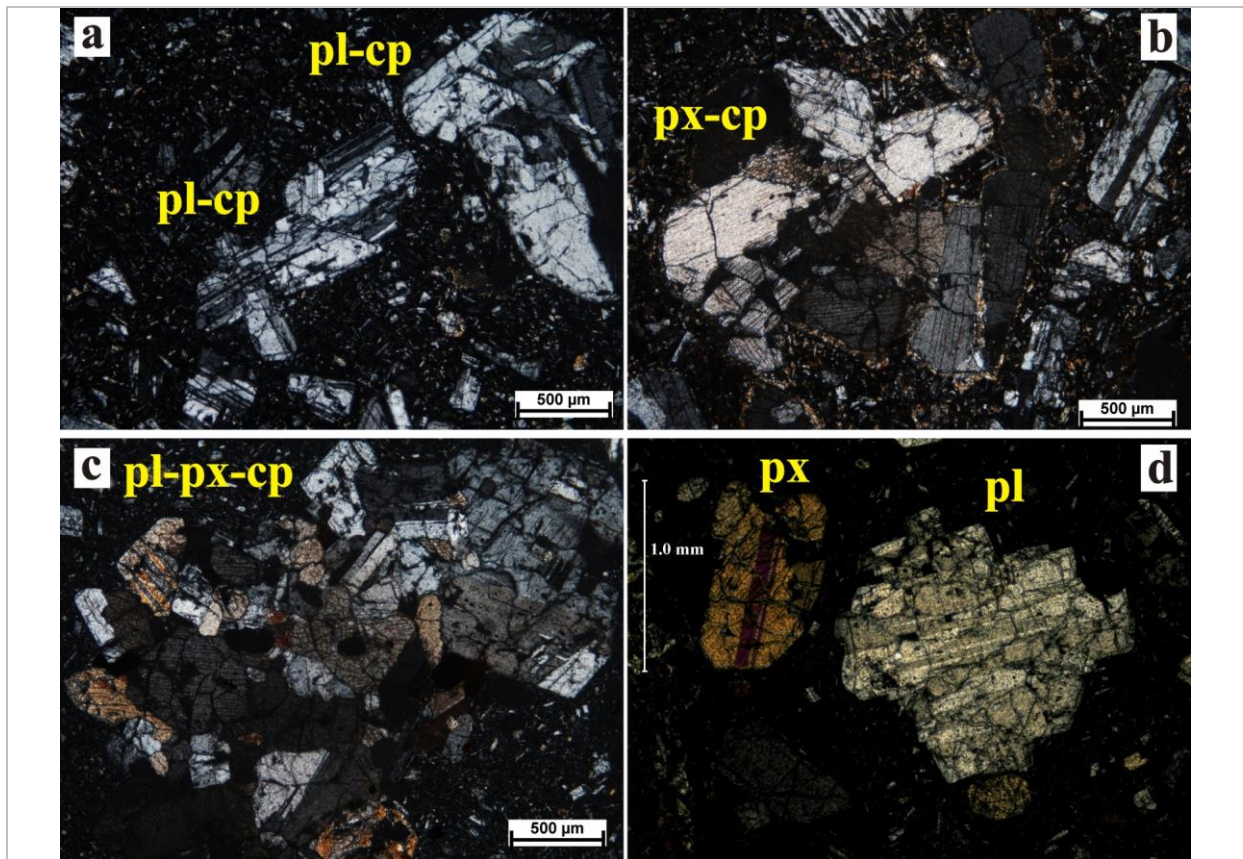
(**a, b, e:** plane-polarized light, **c, d, f:** cross-polarized light):

**a-b:** pseudomorphs after olivine

**c-d:** fresh olivine in the core of pseudomorphs after olivine

**e-f:** fine-grained inclusion





**Melléklet – 25. ábra:** Mikroszkópos felvételek (nyersanyag, Domoszló, méretarány: **a-c:** 500  $\mu\text{m}$ , **d:** 1,0 mm, keresztvezetett nikolok):

**a:** plagioklász kumuloporfirók

**b:** piroxén kumuloporfir

**c:** plagioklász-piroxén kumuloporfir

**d:** poliszintetikus ikres klinopiroxén fenokristály

**Appendix – Fig. 25.:** Photomicrographs (raw material, Domoszló, scale: **a-c:** 500  $\mu\text{m}$ , **d:** 1,0 mm, cross-polarized light):

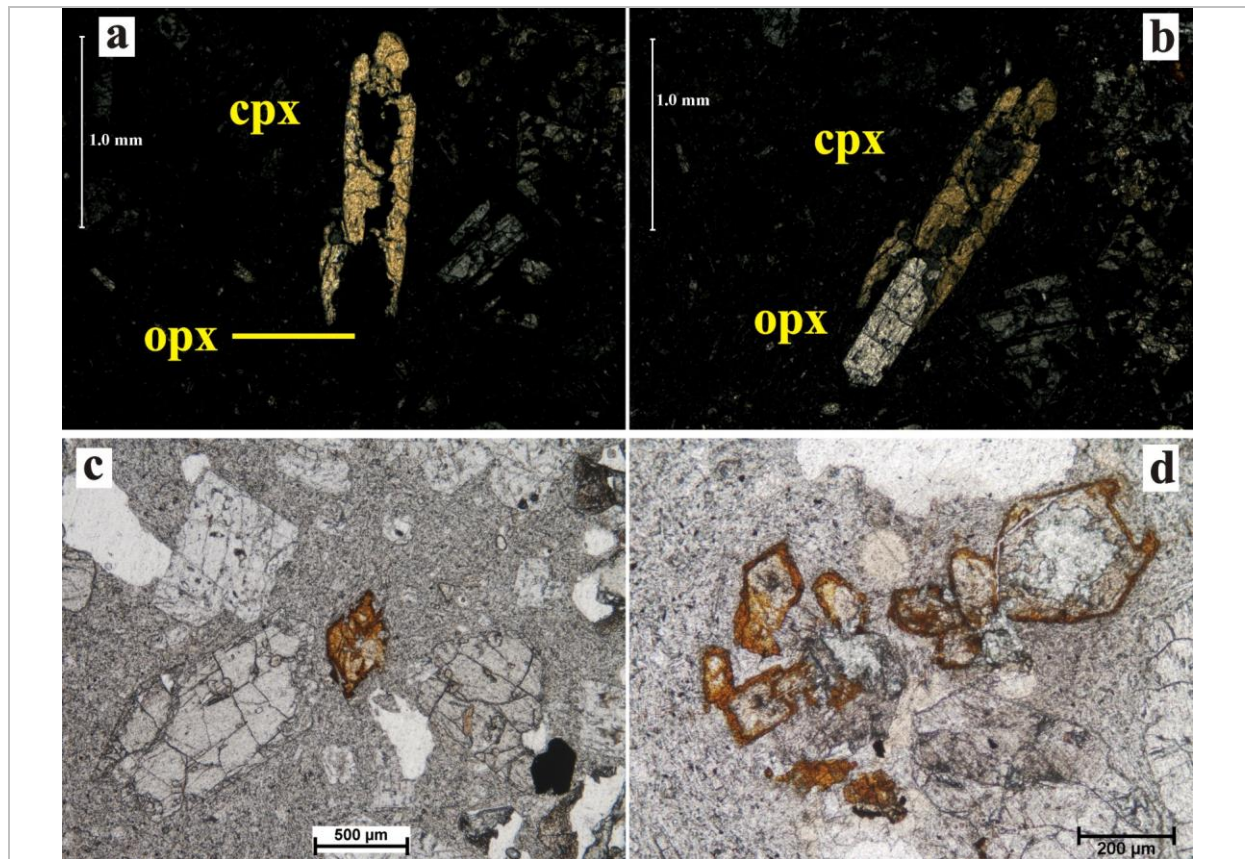
**a:** plagioclase cumulo porphyrs

**b:** pyroxene cumulo porphyr

**c:** plagioclase-pyroxene cumulo porphyr

**d:** clinopyroxene phenocryst with polysynthetic twinning





**Melléklet – 26. ábra:** Mikroszkópos felvételek (nyersanyag, Domszló):

(**a, b**: keresztezett nikolok, **c, d**: 1 nikol):

**a**: ortopiroxén fenokristály, klinopiroxén továbbnövekedéssel: az ortopiroxén fenokristály kioltási helyzetben van (méretarány: 1,0 mm)

**b**: ortopiroxén fenokristály, klinopiroxén továbbnövekedéssel (méretarány: 1,0 mm)

**c**: izolált limonit-hematit aggregátum (méretarány: 500 μm)

**d**: limonit-hematit aggregátumok (méretarány: 200 μm)

**Appendix – Fig. 26.:** Photomicrographs (raw material, Domszló):

(**a, b**: cross-polarized light, **c, d**: plane-polarized light):

**a**: orthopyroxene phenocryst with a clinopyroxene overgrowth, the orthopyroxene phenocryst is in extinction (scale: 1,0 mm)

**b**: orthopyroxene phenocryst with a clinopyroxene overgrowth (scale: 1,0 mm)

**c**: isolated limonite-hematite aggregate (scale: 500 μm)

**d**: group of limonite-hematite aggregates (scale: 200 μm)

